

УДК 537.32

DOI: 10.15587/2313-8416.2015.47792

НАНОЭЛЕКТРОНИКА «СНИЗУ – ВВЕРХ»: НАЧАЛА СПИНТРОНИКИ И МАГНЕТРОНИКИ

© Ю. А. Кругляк

В рамках концепции «снизу – вверх» нанoeлектроники рассматриваются ключевые вопросы спин троники – спиновый вентиль, граничное сопротивление при несовпадении мод проводимости, спиновые потенциалы и разность нелокальных спин-потенциалов, спиновый момент и его транспорт, уравнение Ландау-Лифшица-Гильберта применительно к выделенной оси магнита, обсуждаются обращение намагниченности спиновым током, поляризаторы и анализаторы спинового тока, а также обсуждаются уравнения диффузии для баллистического транспорта и тока в режиме неравновесных потенциалов

Ключевые слова: нанoeлектроника, спинтроника, спиновый вентиль, спиновый потенциал, спиновый момент, спиновый ток

Basic topics of spintronics such as spin valve, interface resistance due to mode mismatch, spin potentials, non-local spin voltage, spin moment and its transport, Landau-Lifshitz-Gilbert equation with application to an “easy axis” of a magnet, nanomagnet dynamics by spin current, polarizers and analyzers of spin current, diffusion equation for ballistic transport and current in terms of non-equilibrium potentials are discussed in the frame of the «bottom – up» approach of modern nanoelectronics

Keywords: nanoelectronics, spintronics, spin valve, spin potential, spin moment, spin current

1. Введение

В продолжение публикаций [1, 2] в рамках концепции «снизу – вверх» нанoeлектроники [3] рассмотрим такие ключевые вопросы спинтроники как спиновый вентиль, граничное сопротивление при несовпадении мод проводимости, спиновые потенциалы и разность нелокальных спин-потенциалов, спиновый момент и его транспорт, уравнение Ландау – Лифшица – Гильберта применительно к выделенной оси магнита, рассмотрим обращение намагниченности спиновым током, поляризаторы и анализаторы спинового тока. Рассмотрим также уравнения диффузии для баллистического транспорта, токов в режиме неравновесных потенциалов и выведем формулу для сопротивления на границе контакта двух проводников с разным числом мод проводимости – вопросов, актуальных для спинтроники.

Электроника второй половины XX века основывалась на транспорте заряда электронов и управления им электрическими и магнитными полями (зарядовая электроника). В конце века началось бурное развитие нового направления, основанного на том, что электроны имеют не только электрический заряд, но и спин и связанный с ним магнитный момент. Это направление получило название спиновой электроники или спинтроники (*spin-transport electronics*).

Среди работ, предвосхитивших развитие спинтроники, отметим пионерские исследования М. И. Дья-

конова и В. И. Переля, показавших возможность ориентации спинов при протекании тока [4], М. Жюльера по туннельному магнитосопротивлению [5], А. Г. Аронова и Г. Е. Пикуса по спиновой инжекции в полупроводниках [6]. И поныне, 40 лет спустя, исследования в области спинтроники ведутся в области этих трех открытых эффектов – инжекции в магнитных переходах носителей с определенным направлением спина, переключения таких переходов спинопляризованным током и гигантского магнитосопротивления.

Началом современного этапа исследований в области спинтроники принято считать работы [7, 8], в которых было экспериментально показано, что электронный ток в ферромагнитном металле поляризован по спину и было открыто явление гигантского магнитосопротивления. Поляризация тока открыла возможность управления транспортом спинов в ферромагнитных структурах с помощью магнитных полей. В 2007 году Альберт Ферг и Петер Грюнберг были удостоены Нобелевской премии по физике за открытие гигантского магнитосопротивления.

Основным объектом исследований в спинтронике и поныне остается спиновый вентиль (*spin valve*). В простейшем случае он состоит из двух токнесущих ферромагнитных (ФМ) контактов, разделенных достаточно тонким каналом транспорта электронов (*спейсер/spacer*). Спейсер может быть метал-

лическим, но не магнитным, может быть диэлектриком, его роль могут играть отдельные молекулы, кластеры и любые наноразмерные структуры. Перенос электронов по спейсеру обычно баллистический или туннельный. Один из ферромагнитных контактов (он именуется свободным/free) характеризуется малой энергией анизотропии и легко меняет направление своей намагниченности под действием внешнего магнитного поля соответствующей ориентации. Другой ферромагнитный контакт (его называют закрепленным/pinned) характеризуется существенно большей энергией анизотропии и требует существенно более сильных полей для изменения своей намагниченности. Сильная анизотропия закрепленного контакта может быть природно присущей ему или же наведенной в процессе изготовления.

Для спинового вентиля характерна сильная зависимость электрического сопротивления спейсера при протекании тока между магнитными контактами от взаимной ориентации намагниченности контактов: при параллельной ориентации (P) сопротивление значительно меньше, чем при антипараллельной ориентации (AP)

$$R_p < R_{AP}. \quad (1)$$

Поскольку ориентация намагниченности свободного ферромагнитного контакта может меняться под действием внешнего магнитного поля, то это приводит к сильной зависимости сопротивления проводника между контактами от приложенного магнитного поля.

Понять экспериментально наблюдаемое неравенство сопротивлений (1) качественно можно на основе двухканальной модели Мотта [9, 10], в которой перенос мажоритарных электронов (направление спина параллельно намагниченности) и миноритарных электронов (направление спина антипараллельно намагниченности) условно осуществляется по двум независимым спиновым подзонам (рис. 1) в условиях отсутствия спин-флип рассеяния (to flip – переворачивать), к рассмотрению которого вернемся позже.

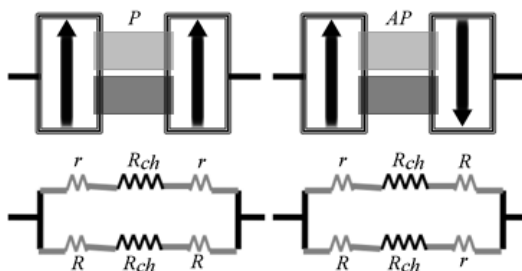


Рис. 1. Параллельная и антипараллельная ориентации намагниченности контактов спинового вентиля и соответствующие эквивалентные схемы сопротивления для мажоритарных (слева) и миноритарных (справа) носителей заряда. Канал транспорта электронов условно разбит на две спиновых подзоны – для электронов со спином «вверх» (up) подзона закрашена светлосерым, а со спином «вниз» (dn) – темносерым цветом

Электрон из определенной подзоны одного контакта может туннелировать только в такую же подзону другого контакта. Если намагниченность контактов параллельна, то вероятность такого туннелирования будет намного больше, а электрическое сопротивление будет соответственно меньше, чем в случае антипараллельной намагниченности контактов [11]. Рассмотрим ситуацию подробнее.

Количественную оценку неравенства (1) можно получить в модели, согласно которой спиновая подзона имеет различное граничное сопротивление с контактом в зависимости от того, речь идет о переносе спинов параллельных (мажоритарных спинов) или антипараллельных (миноритарных спинов) намагниченности контактов. Граничное сопротивление для мажоритарных спинов меньше, чем для миноритарных ($r < R$). Соответствующие эквивалентные схемы сопротивления показаны на рис. 1. Полноты ради, учтено также сопротивление каналов подзон R_{ch} .

Из элементарной теории электрических цепей следует, что для параллельной ориентации намагниченности контактов

$$R_p = \left(\frac{1}{2r + R_{ch}} + \frac{1}{2R + R_{ch}} \right)^{-1} = \frac{(2r + R_{ch})(2R + R_{ch})}{2(R + r + R_{ch})}, \quad (2)$$

а для антипараллельной ориентации

$$R_{AP} = \frac{r + R + R_{ch}}{2}. \quad (3)$$

Качество спинового вентиля определяется различием между R_p и R_{AP} . Можно ожидать, что качество вентиля будет выше, если сопротивлением канала можно пренебречь ($R_{ch} \ll r, R$), так что качество вентиля определяется лишь граничными сопротивлениями. Тогда

$$R_p = \frac{2rR}{r + R} \quad (4)$$

и

$$R_{AP} = \frac{r + R}{2}, \quad (5)$$

откуда сразу следует неравенство (1), стоит лишь в (4) и (5) большее сопротивление R устремить к бесконечности.

В пределе $R_{ch} \rightarrow 0$ получим максимально возможное значение магнитосопротивления (МС)

$$MR \equiv \frac{R_{AP} - R_p}{R_p} = \frac{R_{AP}}{R_p} - 1 = \frac{(r + R)^2}{4rR} = \frac{\left(\frac{R - r}{R + r} \right)^2}{1 - \left(\frac{R - r}{R + r} \right)^2}, \quad (6)$$

если $R_{ch} = 0$.

Поляризация ФМ контакта определяется как

$$P \equiv \frac{R - r}{R + r} \quad (7)$$

и является мерой его эффективности, так что магнитосопротивление

$$MR = \frac{P^2}{1 - P^2}, \quad (8)$$

если $R_{ch} = 0$.

Зависимость МС от сопротивления канала R_{ch} показана на рис. 2.

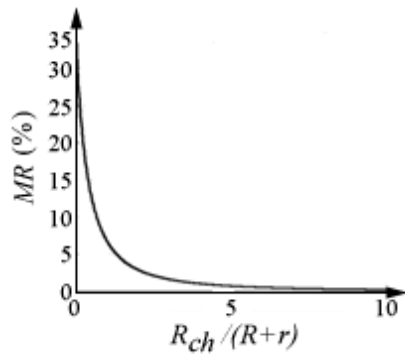


Рис. 2. Падение МС с ростом нормированного сопротивления канала при поляризации $P = 0.5$

Обращает на себя внимание быстрое зануление МС с ростом нормированного сопротивления канала, начиная, скажем, со значения, равного пяти.

Выражение (8) для МС справедливо для металлических немагнитных проводников. В этом случае сопротивление двух последовательно соединенных сопротивлений R_1 и R_2 равно сумме этих сопротивлений $R_1 + R_2$. Если же проводником является диэлектрик, то имеет место магнитный туннельный переход (МТП), а сопротивление двух последовательно соединенных сопротивлений R_1 и R_2 пропорционально произведению этих сопротивлений $KR_1 \cdot R_2$, что следует из физики туннельных проводников, так что для параллельной P ориентации намагниченностей контактов имеем

$$R_p = \frac{Kr^2R^2}{r^2 + R^2}, \quad (9)$$

а для антипараллельной AP

$$R_{AP} = \frac{KrR}{2}, \quad (10)$$

так что

$$\frac{R_{AP}}{R_p} = \frac{r^2 + R^2}{2rR} = \frac{(R+r)^2 + (R-r)^2}{(R+r)^2 - (R-r)^2} = \frac{1 + P^2}{1 - P^2}, \quad (11)$$

а магнитосопротивление МТП

$$MR = \frac{2P^2}{1 - P^2} \quad (12)$$

отличается двойкой от МС металлического проводника (8).

2. Граничное сопротивление и несовпадение мод проводимости

Поначалу в спиновых вентилях использовались металлические спейсеры, например, медные. Оказалось, однако, что во многих приложениях лучше себя показывают непроводящие оксиды в режиме МТП, обеспечивая более высокие значения МС. Попытки использовать полупроводниковые спейсеры были неудачными приблизительно до 2000 года, когда стало ясно, что причина неудач кроется в высоких значениях R_{ch} сравнительно с суммой $(r+R)$, приводящих к низким значениям МС [12, 13]. Выход был найден в увеличении граничных сопротивлений за счет дополнительных барьерных слоев на границах с контактами (рис. 3). Сейчас это стандартная процедура при работе с полупроводниковыми каналами.

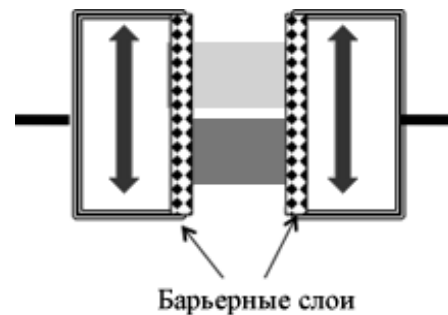


Рис. 3. Дополнительные барьерные слои с целью увеличить граничные сопротивления при инъекции спинов в полупроводниковый канал проводимости

Как же это работает? Стандартное объяснение очевидно. Барьерные слои увеличивают граничные сопротивления r и R , уменьшая тем самым отношение $R_{ch}/(r+R)$ и увеличивая МС (рис. 2). Однако, если бы дело было только в этом, то можно было бы уменьшить толщину спейсера настолько, чтобы перейти в баллистический режим транспорта ($L \ll \lambda$). Эта идея не нашла, однако, экспериментального подтверждения.

Число мод $M(E)$ или же плотность состояний $D(E)$ в обычном канале проводимости и в спейсере спинового клапана схематически показаны на рис. 4.

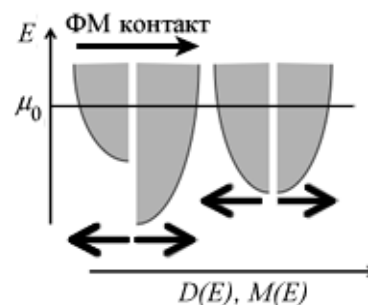


Рис. 4. Спиновые подзоны в обычном канале проводимости (справа) и в спиновом вентиле (слева)

В обычном канале обе спиновые подзоны одинаковы. В спиновом же венти́ле полоса миноритарных спинов обычно сдвинута вверх по энергии, в результате чего число мод в районе $E = \mu_0$ меньше для миноритарных спинов (M_{dn}), чем для мажоритарных (M_{up}). Чему будут равны граничные сопротивления?

Ниже в Приложении будет показано, что сопротивление R_{int} на границе контакта двух проводников с разным числом мод ($M_1 > M_2$)

$$R_{int} = \frac{h}{2q^2} \left(\frac{1}{M_2} - \frac{1}{M_1} \right). \quad (13)$$

Если $M_1 \gg M_2$, то

$$R_{int} = \frac{h}{2q^2 M_2}, \quad (14)$$

что отвечает «хорошему контакту» ($M_1 > M_2$).

Число мод M в канале металлического проводника обычно имеет промежуточное значение (рис. 5).

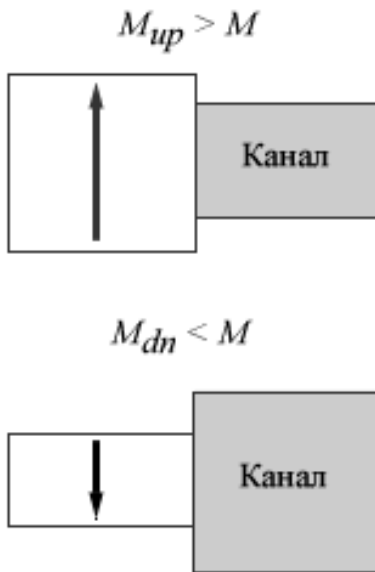


Рис. 5. Металлический спейсер между двумя ФМ контактами

В идеале же

$$M_{up} \gg M \gg M_{dn}, \quad (15)$$

так что ФМ контакт «хорош» для мажоритарных спинов, но не для миноритарных:

$$r = \frac{h}{2q^2} \left(\frac{1}{M} - \frac{1}{M_{up}} \right) \approx \frac{h}{2q^2 M}, \quad (16)$$

$$R = \frac{h}{2q^2} \left(\frac{1}{M_{dn}} - \frac{1}{M} \right) \approx \frac{h}{2q^2 M_{dn}}.$$

Число же мод M в полупроводящем канале (рис. 6) обычно меньше числа мод в обоих ФМ контактах:

$$M_{up} > M_{dn} \gg M, \quad (17)$$

так что

$$r = R = \frac{h}{q^2 M} \quad (18)$$

и поляризация P нулевая.

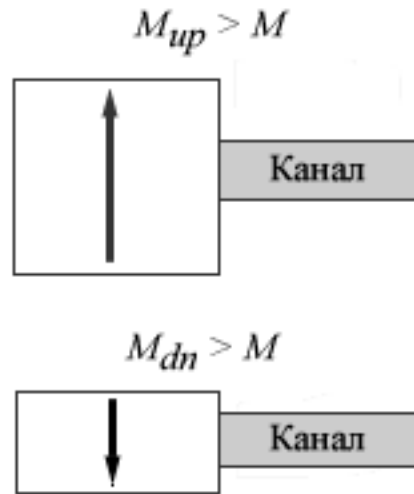


Рис. 6. Полупроводящий спейсер между двумя ФМ контактами

Другими словами, проблема инжекции спинов в полупроводящий канал не только вызвана высоким сопротивлением канала R_{ch} , которое можно было бы уменьшить в режиме баллистического транспорта, но и тем, что теряется различие между граничными сопротивлениями R и r для обоих спинов. Скажем, если канал имеет 10 мод проводимости, то ему безразлично имеет ли ФМ контакт 100 мод (миноритарные спины) или 1000 мод (мажоритарные спины). И в том и в другом случае недостаток электронов в канале не будет.

При наличии барьеров на границе ФМ контакта и полупроводящего канала (рис. 7) граничное сопротивление уже не дается формулой (13), а полагают, что оно пропорционально произведению плотности состояний, а стало быть и числа мод на обеих сторонах туннельного барьера так что

$$r = K \cdot M_{up} M, R = K \cdot M_{dn} M \quad (19)$$

с константой пропорциональности K . Теперь поляризация P не зависит от числа мод в канале:

$$P = \frac{M_{up} - M_{dn}}{M_{up} + M_{dn}} \quad (20)$$

и ей можно придать нужное численное значение. Граничные сопротивления теперь, конечно, больше по сравнению с омическим сопротивлением (13).

Осталось объяснить происхождение формулы (13) для граничного сопротивления R_{int} . Для этого в Приложении мы рассмотрим диффузионное уравнение для баллистического транспорта, а затем, опираясь на полученные результаты, получим формулу (13) для граничного сопротивления.

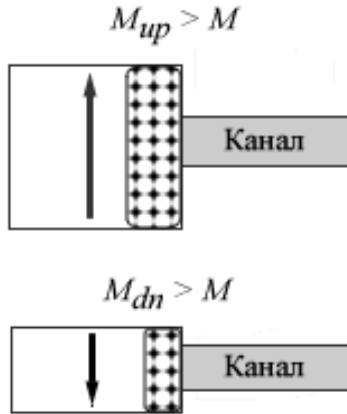


Рис. 7. Барьеры на границе ФМ контактов и канала проводимости

3. Спиновые потенциалы

Различие в граничном сопротивлении между магнитным контактом и спиновыми подзонами для спинов вверх (*up*) и вниз (*dn*) позволяет ввести понятие о спиновых потенциалах μ_{up} и μ_{dn} внутри немагнитного проводника. Различие между ними вначале было экспериментально обнаружено на металлах, а затем и на полупроводниках.

Концепцию спинового потенциала продемонстрируем на простой структуре с одним магнитным контактом (рис. 8, а). Если не учитывать спины, профиль электрохимического потенциала качественно выглядел бы как на рис. 8б. Качественное решение дают уравнения диффузии и непрерывности с соответствующими граничными условиями для $\mu(z)$ на контактах, что подробно рассматривается в Приложении. Поскольку граничные сопротивления между магнитным контактом и спиновыми подзонами проводника различны, следует ожидать различное падение электрохимических потенциалов на границе между контактом и спиновыми подзонами, и при решении соответствующих уравнений диффузии профили электрохимических потенциалов для спинов *up* и *dn* будут различны, как это качественно показано на рис. 8, в.

Электрохимические потенциалы для двух спинов сепарируются на магнитном контакте, однако, затем стремятся вернуться к исходному значению в результате спин-флип-релаксации, которая непрерывно стремится восстановить локальное равновесие путем уравнивания μ_{up} и μ_{dn} . Количественно поведение спиновых потенциалов дается уравнениями диффузии для спинов *up* и *dn*:

$$\begin{aligned} I_{up} &= -\frac{\sigma A}{2q} \frac{d\mu_{up}}{dz}, \\ I_{dn} &= -\frac{\sigma A}{2q} \frac{d\mu_{dn}}{dz}, \end{aligned} \tag{21}$$

в которых для каждого из спинов учитывается половина проводимости по сравнению с уравнением для суммарного тока.

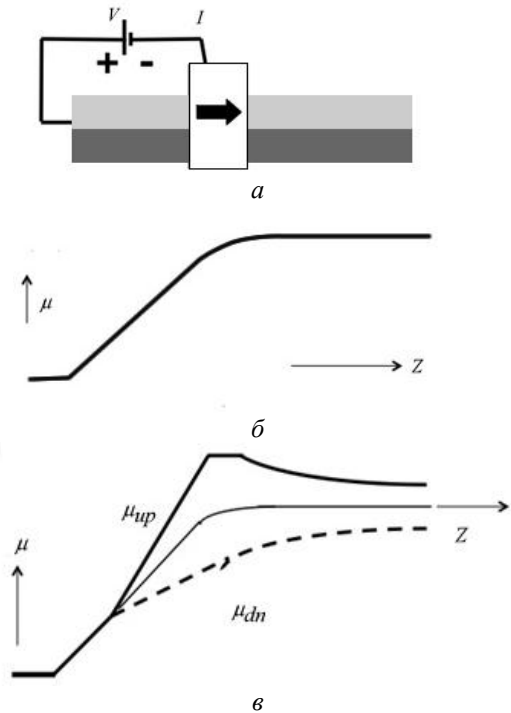


Рис. 8. Сепарирование спиновых потенциалов μ_{up} и μ_{dn} в канале с использованием магнитного контакта (качественная картина): а – простая схема с одним магнитным контактом; б – профиль электрохимического потенциала без учета спинов; в – профили электрохимических потенциалов для спинов *up* и *dn* различны

Спин-флип-релаксация обращает ток I_{up} в ток I_{dn} и наоборот, так что

$$\frac{dI_{up}}{dz} = -\frac{dI_{dn}}{dz} = -K(\mu_{up} - \mu_{dn}), \tag{22}$$

где константа пропорциональности K есть мера эффективности спин-флип-релаксации, стремящейся уравнивать спиновые потенциалы μ_{up} и μ_{dn} .

Комбинируя (22) и (21), получаем

$$\frac{d^2\mu_{up}}{dz^2} = \frac{\mu_{up} - \mu_{dn}}{2\lambda_{sf}^2} = -\frac{d^2\mu_{dn}}{dz^2}, \tag{23}$$

где длина

$$\lambda_{sf} = \frac{1}{2} \sqrt{\sigma A / qK} \tag{24}$$

есть характеристическое расстояние, на котором электрон меняет свой спин на противоположный. Характерные значения длины спин-флипа меняются в широких пределах от нескольких десятков нанометров до сотен микрометров в зависимости от среды и температуры.

Уравнение (23) известно как уравнение Вале – Ферта [13]. Изначально оно было получено как след-

стиве транспортного уравнения Больцмана [14, 15] и ныне широко используется при обсуждении диффузионных задач с учетом спина электронов.

Введем понятия зарядового и спинового потенциалов

$$\mu \equiv (\mu_{up} + \mu_{dn})/2, \quad (25)$$

$$\mu_s \equiv \mu_{up} - \mu_{dn} \quad (26)$$

и аналогично – зарядового и спинового токов

$$I = I_{up} + I_{dn}, \quad (27)$$

$$I_s = I_{up} - I_{dn}. \quad (28)$$

Зарядовые потенциалы и токи удовлетворяют обычным диффузионным уравнениям (см. п. 6), а спиновый потенциал определяется длиной спин-флипа:

$$\frac{d^2 \mu_s}{dz^2} = \frac{\mu_s}{\lambda_{sf}^2}. \quad (29)$$

Можно ли измерить спиновую разность потенциалов внутри канала проводимости? Можно, и не только в пределах канала проводимости, но и за его пределами, как это показано на рис. 9. Подобные измерения известны как измерения разности нелокальных спин-потенциалов и сейчас являются рутинными при исследовании спин-транспортных задач [19].

Спиновая разность потенциалов измеряется при изменении намагниченности пробного электрода за пределами проводника (рис. 9) с параллельного режима P на антипараллельный AP и как будет далее показано равна

$$V_s \equiv \frac{\mu_p - \mu_{AP}}{q} = P_1 P_2 I R_s e^{-L/\lambda_{sf}}, \quad (30)$$

где P_1 и P_2 – поляризации инжектирующего и детектирующего ФМ контактов (рис. 9), а спиновое сопротивление

$$R_s = \lambda_{sf} / \sigma A. \quad (31)$$

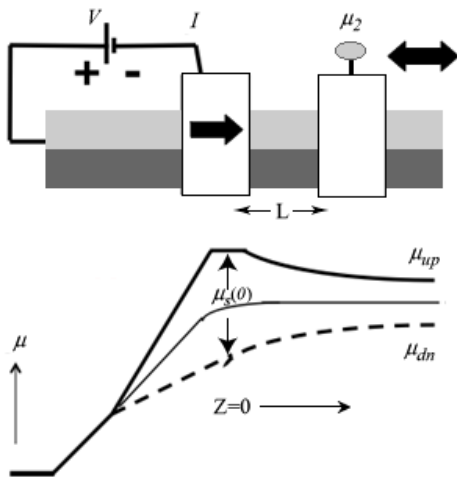


Рис. 9. К измерению спиновой разности потенциалов за пределами проводника тока

3. 1. Разность нелокальных спин-потенциалов

Уравнение (30) можно получить в два шага. Сначала покажем, что спиновый потенциал инжектирующего контакта

$$\mu_s(0) = P_1 q I R_s. \quad (32)$$

Затем покажем, что разность

$$\mu_p - \mu_{AP} = P_2 \mu_s(0) e^{-L/\lambda_{sf}}, \quad (33)$$

откуда сразу получается уравнение (30).

Поведение спиновых потенциалов описывается уравнением (29), согласно которому спиновый потенциал уменьшается экспоненциально в обе стороны от инжектирующего контакта

$$\mu_s = \mu_s(0) e^{-|z|/\lambda_{sf}}, \quad (34)$$

как это показано на рис. 10.

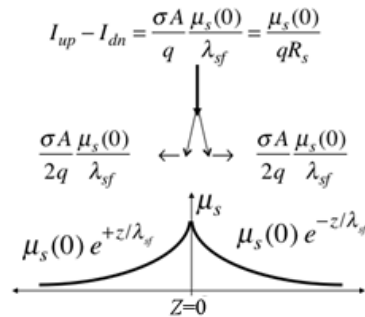


Рис. 10. К расчету суммарного спинового тока, порождаемого инжектирующим контактом на рис. 9

Теперь вычислим спиновый ток в обоих направлениях от инжектирующего контакта, а именно:

$$I_s = -\frac{\sigma A}{2q} \frac{d\mu_s}{dz}, \quad (35)$$

выражение для которого следует из (21) и (25) – (28). Сами токи в обоих направлениях показаны на рис. 10. Их сумма с учетом спинового сопротивления (31) дает суммарный спиновый ток

$$I_{up} - I_{dn} = \frac{\mu_s(0)}{q R_s}. \quad (36)$$

Теперь рассмотрим ток от инжектирующего контакта через его граничные проводимости g_{up} и g_{dn} для спинов up и dn (рис. 11).

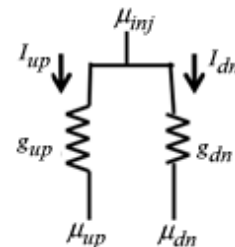


Рис. 11. К вычислению токов от инжектирующего контакта через его граничные проводимости g_{up} и g_{dn} для спинов up и dn

Из теории электрических цепей имеем

$$\frac{\mu_s(0)}{q} \equiv \frac{\mu_{up} - \mu_{dn}}{q} = \frac{I_{dn}}{g_{dn}} - \frac{I_{up}}{g_{up}}, \quad (37)$$

что можно переписать в виде

$$\frac{\mu_s(0)}{q} = \frac{g_{up} + g_{dn}}{2g_{up}g_{dn}} (P_1 I - (I_{up} - I_{dn})) \quad (38)$$

через поляризацию инжектирующего контакта

$$P_1 \equiv \frac{g_{up} - g_{dn}}{g_{up} + g_{dn}}, \quad (39)$$

а с использованием (36) имеем

$$(I_{up} - I_{dn})R_s = \frac{g_{up} + g_{dn}}{2g_{up}g_{dn}} (P_1 I - (I_{up} - I_{dn})) \quad (40)$$

или иначе

$$\frac{P_1 I}{I_{up} - I_{dn}} - 1 = \frac{2R_s}{\frac{1}{g_{up}} + \frac{1}{g_{dn}}}. \quad (41)$$

Спиновое сопротивление R_s (31) есть сопротивление той части канала проводимости, длина которой соответствует спин-флип-длине λ_{sf} , и оно намного меньше чем граничные сопротивления $1/g_{up}$ и $1/g_{dn}$ (рис. 11), которые особенно велики при использовании барьеров для усиления поляризации контакта. В этих условиях правая часть равенства (41) зануляется, так что окончательно

$$I_{up} - I_{dn} = P_1 I, \quad (42)$$

что вместе с (40) окончательно дает искомое выражение (32).

Для получения на втором шаге выражения (33) начинаем со спинового потенциала на детектирующем контакте (рис. 9)

$$\mu_s(L) = \mu_s(0)e^{-L/\lambda_{sf}} \quad (43)$$

Для нахождения потенциала, регистрируемого детектирующим контактом, воспользуемся цепью на рис. 12, аналогичной использованной для инжектирующего контакта на рис. 11.

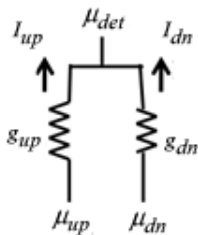


Рис. 12. К вычислению токов на детектирующем контакте через его граничные проводимости g_{up} и g_{dn} для спинов up и dn

Поскольку суммарный ток на детектирующем контакте равен нулю, то для цепи на рис. 12 при параллельной ориентации намагниченности контакта имеем

$$I = 0 = g_{up}(\mu_{up} - \mu_p) + g_{dn}(\mu_{dn} - \mu_p), \quad (44)$$

так что

$$\mu_p = \frac{g_{up}\mu_{up} + g_{dn}\mu_{dn}}{g_{up} + g_{dn}}. \quad (45)$$

В случае же антипараллельной ориентации в числителе появляются перекрестные произведения

$$\mu_{AP} = \frac{g_{dn}\mu_{up} + g_{up}\mu_{dn}}{g_{up} + g_{dn}}. \quad (46)$$

Итак,

$$\mu_p - \mu_{AP} = \frac{(g_{up} - g_{dn})(\mu_{up} - \mu_{dn})}{g_{up} + g_{dn}} = P_2 \mu_s(L), \quad (47)$$

где поляризация детектирующего контакта P_2 определяется через граничные проводимости точно так же, как и поляризация инжектирующего контакта (39).

Из (47) и (43) получаем искомое уравнение (33). Это же уравнение можно получить несколько иначе.

Перепишем (44) в общем виде:

$$I = 0 = g_{up}(\mu_{up} - \mu_{det}) + g_{dn}(\mu_{dn} - \mu_{det}) \quad (48)$$

так что

$$\mu_{det} = \frac{g_{up}\mu_{up} + g_{dn}\mu_{dn}}{g_{up} + g_{dn}}. \quad (49)$$

Используя уравнения (25) и (26), перепишем μ_{up} и μ_{dn} через μ и μ_s :

$$\begin{aligned} \mu_{up} &= \mu + \frac{\mu_s}{2}, \\ \mu_{dn} &= \mu - \frac{\mu_s}{2}, \end{aligned} \quad (50)$$

так что для параллельной ориентации намагниченности детектирующего контакта

$$\mu_p = \mu + \frac{P_2 \mu_s}{2}, \quad (51)$$

а для антипараллельной ориентации

$$\mu_{AP} = \mu - \frac{P_2 \mu_s}{2}, \quad (52)$$

где поляризация P_2 определена выше. Таким образом, мы снова пришли к уравнению (47):

$$\mu_p - \mu_{AP} = P_2 \mu_s(L). \quad (53)$$

3. 2. Спиновый момент

Спиновый вентиль и многочисленные различные устройства электроники на его основе явились наиболее значительным достижением спинтроники

[11, 20–22]. Другим удивительным достижением явилось экспериментальное обнаружение транспорта спинового момента [23–25], предложенного в [26, 27] и которое заключается в том, что спиновые токи могут менять намагниченность наноконтакта [28–30]. Схема эксперимента по транспорту спинового момента показана на рис. 13.

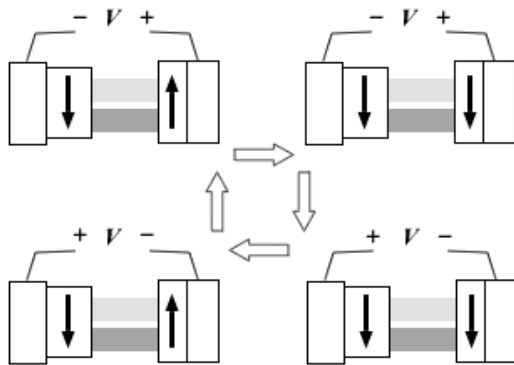


Рис. 13. Демонстрация эксперимента по транспорту спинового момента

Намагниченность закрепленного левого контакта спинового вентиля фиксирована и направлена вниз. Правый наноконтакт свободен и его намагниченность может изменять свое направление. Подача отрицательного потенциала на закрепленный контакт порождает отрицательный спиновый потенциал

$$\mu_s \equiv \mu_{up} - \mu_{dn} < 0, \quad (54)$$

который вызывает перенос спинового момента на наноконтакт и, если спиновый потенциал достаточно большой, то намагниченность свободного контакта меняется с направления «вверх» на направление «вниз». Если теперь поменять полярность разности потенциалов, подаваемой на вентиль, то появление положительного потенциала на закрепленном контакте вытягивает из канала электроны со спиной «вниз» и таким образом меняет знак спинового потенциала на обратный

$$\mu_s \equiv \mu_{up} - \mu_{dn} > 0. \quad (55)$$

Опять же, если положительный спиновый потенциал достаточно большой, то он вернет намагниченность наноконтакта в исходное состояние. Этот эффект надежно экспериментально подтвержден, и представляется весьма вероятным, что он будет вскоре использоваться для записи информации на ФМ наноноситель так же, как явление магнитосопротивления сейчас широко используется для считывания информации, например, с жесткого диска.

4. Уравнение Ландау-Лифшица-Гильберта

Эти два экспериментальных достижения – магнитное генерирование избытка спинов одного сорта и обращение намагниченности образца за счет этого избытка фактически объединили спинтронику с магнетроникой (рис. 14) в единую область исследо-

ваний, в которой намагничивание и спиновый транспорт играют равновеликие роли.



Рис. 14. Спиновый транспорт и динамика перемагничивания наномогнитов тесно связаны

Модель, описывающая динамику перемагничивания наномангнитных структур под действием спинового тока, основана на уравнении Ландау – Лифшица – Гильберта (ЛЛГ) [31–34].

Магнитный момент электрона пропорционален магнетону Бора

$$\mu_{el} = \frac{g_s}{2} \mu_B, \quad (56)$$

$$\mu_B \equiv \frac{q\hbar}{2m} = 9.274 \cdot 10^{-24} \text{ А} \cdot \text{м}^2, \quad (57)$$

где g -фактор g_s для спина электрона в вакууме очень близок к 2 (точнее равен 2.002329), но может существенно отличаться от 2 для электронов в твердых телах, что для нас сейчас не существенно, так что будем считать, что $g_s = 2$, а $\mu_{el} = \mu_B$. Из (57) видно, что магнитный момент в один магнетон Бора создается током в приблизительно $10 \mu\text{А}$, циркулирующему по квадратному контуру со стороной в 1 нм .

В немагнитных телах все спины скомпенсированы. В магнитных телах величина намагниченности пропорциональна числу нескомпенсированных спинов N_s в объеме Ω :

$$M_s = \mu_B \frac{N_s}{\Omega}, \quad (58)$$

а направление вектора намагниченности, задаваемое его единичным вектором \hat{m} , меняется с магнитным полем \vec{H} согласно уравнению ЛЛГ

$$(1 + \alpha^2) \frac{d\hat{m}}{dt} = -\gamma\mu_0(\hat{m} \times \vec{H}) - \alpha\gamma\mu_0(\hat{m} \times \hat{m} \times \vec{H}), \quad (59)$$

где гиромагнитное отношение, как отношение заряда электрона к его массе,

$$\gamma \equiv \frac{q}{m} = \frac{2\mu_B}{\hbar}, \quad (60)$$

а магнитная постоянная $\mu_0 = 1/(\epsilon_0 \cdot c^2)$ связана с электрической постоянной ϵ_0 через скорость света c .

В уравнении ЛЛГ (59) первое слагаемое описывает динамику намагниченности [32], а второе слагаемое – диссипацию динамического процесса с па-

раметром затухания Гильберта α [33], характерное значение которого обычно ~ 0.01 .

4. 1. Выделенная ось магнита

Воспользуемся уравнением ЛЛГ для описания фундаментального экспериментального факта о наличии у магнита выделенной оси (пусть это будет ось z). Внешнее магнитное поле H_{ext} , если оно превышает некоторое критическое значение H_K , может быть использовано для изменения намагниченности между значениями $m_z = -1$ и $m_z = +1$ (рис. 15).

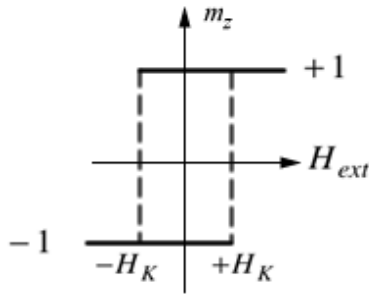


Рис. 15. Магнит имеет выделенную ось (пусть ось z). Внешнее магнитное поле H_{ext} , если оно превышает некоторое критическое значение H_K , меняет намагниченность между значениями $m_z = -1$ и $m_z = +1$

С магнитным полем, направленным вдоль оси z ,

$$\vec{H} = H \hat{z} \tag{61}$$

и пренебрегая $\alpha^2 \ll 1$, уравнение ЛЛГ упрощается до

$$\frac{d\hat{m}}{dt} = -\gamma\mu_0 H (\hat{m} \times \hat{z}) - \alpha\gamma\mu_0 H (\hat{m} \times \hat{m} \times \hat{z}). \tag{62}$$

Выполнив векторные произведения

$$\hat{m} \times \hat{z} = m_z, \quad (\hat{m} \times \hat{z}) \cdot \hat{z} = 0, \quad -\hat{z} \cdot (\hat{m} \times \hat{m} \times \hat{z}) = 1 - m_z^2, \tag{63}$$

получим

$$\frac{dm_z}{dt} = (1 - m_z^2) \alpha\gamma\mu_0 H. \tag{64}$$

Равновесное состояние требует

$$\frac{dm_z}{dt} = 0, \tag{65}$$

так что единичный вектор намагниченности может принимать только два значения

$$m_z = -1 \text{ и } m_z = +1, \tag{66}$$

что и служит ответом на поставленный выше вопрос о наличии у магнита выделенной оси.

Остается вопрос о стабильности решения уравнения (65). Пусть

$$m_z = +1 - \delta. \tag{67}$$

Тогда вместо (64) имеем

$$-\frac{d\delta}{dt} \approx (2\alpha\gamma\mu_0 H) \delta, \tag{68}$$

что означает невозможность отклонения m_z от $+1$ при положительном значении магнитного поля H . Аналогично, при

$$m_z = -1 - \delta \tag{69}$$

равенство

$$\frac{d\delta}{dt} \approx (2\alpha\gamma\mu_0 H) \delta \tag{70}$$

свидетельствует о невозможности отклонения m_z от -1 при отрицательном значении магнитного поля. Иначе говоря,

$$m_z = +1 \text{ устойчиво при } H > 0, \tag{71}$$

$$m_z = -1 \text{ устойчиво при } H < 0. \tag{72}$$

Теперь вернемся к рис. 15. Мы до сих пор не конкретизировали магнитное поле H . Оно включает в себя внешнее магнитное поле H_{ext} и внутреннее магнитное поле, которое каждый электрон чувствует со стороны всех остальных электронов со знаком, определяемым значением m_z ,

$$H = H_{ext} + H_K m_z. \tag{73}$$

Теперь из условий устойчивости (71) и (72) следует

$$m_z = +1 \text{ устойчиво при } H_{ext} > -H_K, \tag{74}$$

$$m_z = -1 \text{ устойчиво при } H_{ext} < +H_K. \tag{75}$$

что и показано графически на рис. 15.

4. 2. Обращение намагниченности спиновым током

Для обсуждения динамики намагничивания в уравнение ЛЛГ (59) добавим еще одно слагаемое ($\alpha^2 \ll 1$), а именно:

$$\frac{d\hat{m}}{dt} = -\gamma\mu_0 (\hat{m} \times \vec{H}) - \alpha\gamma\mu_0 (\hat{m} \times \hat{m} \times \vec{H}) - \left(\hat{m} \times \hat{m} \times \frac{\vec{I}_s}{qN_s} \right), \tag{76}$$

пропорциональное спиновому току \vec{I}_s в пересчете на один спин, где N_s есть число спинов, обеспечивающих намагниченность. Почему дополнительный член берется в виде двойного векторного произведения

$$\hat{m} \times \hat{m} \times \frac{\vec{I}_s}{qN_s}, \tag{77}$$

а не просто

$$\frac{\vec{I}_s}{qN_s} ? \tag{78}$$

Двойное векторное произведение $\hat{m} \times \hat{m} \times \frac{\vec{I}_s}{qN_s}$

с произвольным вектором \vec{V} (рис. 16) сводится к вычитанию из вектора \vec{V} компоненты этого вектора вдоль единичного вектора \hat{m} :

$$-\hat{m} \times \hat{m} \times \vec{V} = \vec{V} - (\hat{m} \cdot \vec{V}) \hat{m}. \quad (79)$$

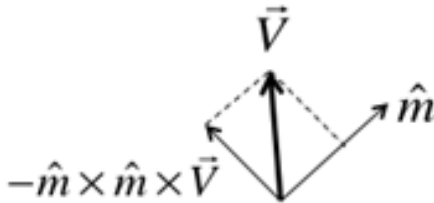


Рис. 16. К вычислению двойного векторного произведения

Поэтому член $\hat{m} \times \hat{m} \times \frac{\vec{I}_s}{qN_s}$ равен компоненте вектора спинового тока $\frac{\vec{I}_s}{qN_s}$, перпендикулярной намагниченности, величина же намагниченности не изменяется, обращается только ее направление. Это гарантируется тем, что вся правая часть уравнения ЛЛГ должна быть перпендикулярна намагниченности. Есть еще один дополнительный член в правой части уравнения ЛЛГ, также перпендикулярный намагниченности, а именно:

$$\alpha \hat{m} \times \frac{\vec{I}_s}{qN_s}, \quad (80)$$

но мы им пренебрегли, поскольку параметр затухания Гильберта α обычно очень мал.

Проектируя уравнение ЛЛГ (76) на выделенную ось, получаем

$$\frac{dm_z}{dt} = (1 - m_z^2) \left(\alpha \gamma \mu_0 H_K m_z + \frac{I_s}{qN_s} \right). \quad (81)$$

Как и в случае с уравнением (64), критическое значение спинового тока, необходимое для обращения намагниченности, дается уравнением

$$\left(\frac{I_s}{qN_s} \right)_{crit} = \alpha \gamma \mu_0 H_K, \quad (82)$$

а с использованием (58) для критического значения спинового тока имеем

$$(I_s)_{crit} = \frac{4q\alpha}{\hbar} \left(\frac{1}{2} \mu_0 H_K M_s \Omega \right). \quad (83)$$

Величина в круглых скобках для критического тока есть энергия барьера, разделяющего два состоя-

ния магнита. Для устойчивого состояния магнита с той или иной намагниченностью (вверх или вниз) барьер должен быть не меньше нескольких десятков kT . В противном случае намагниченность магнита будет обращаться циклически практически бесконечно долго. При барьере $\sim 40 kT$ и $\alpha = 0.01$ уравнение (83) для критического значения спинового тока дает $\sim 10 \mu A$. Экспериментально наблюдались токи $\sim 50 - 100 \mu A$.

Наглядные апплеты по динамике намагничивания с переносом спинового момента выставлены на сайте [35].

5. Поляризаторы и анализаторы спинового тока

Пусть регистрирующий ФМ контакт 2 расположен под углом по отношению к инжектирующему контакту (рис. 17). Какая разность потенциалов будет измерена?

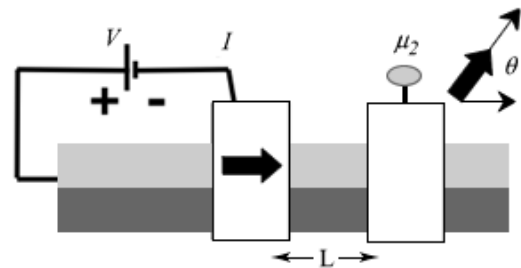


Рис. 17. Регистрирующий контакт 2 в роли анализатора спинового тока

Ответ представляется довольно простым:

$$\mu_2 = \mu + \frac{\vec{P}_2 \cdot \vec{\mu}_s}{2}, \quad (84)$$

где вектор поляризации совпадает с направлением регистрирующего контакта, а вектор спинового потенциала совпадает с направлением спиновой поляризации канала проводимости, которое по договоренности есть направление намагниченности инжектирующего контакта. Ранее мы уже рассматривали два частных случая взаимной ориентации намагниченности контактов: параллельно P и антипараллельно AP (53). Как интерпретировать более общий результат (84)?

Проведем аналогию с поляризацией потока фотонов. Интенсивность света, прошедшего через анализатор, пропорциональна квадрату косинуса угла между плоскостями пропускания поляризатора и анализатора $I/I_0 = \cos^2 \theta$ (закон Малюса). Интенсивность прошедшего света максимальна при совпадении плоскостей пропускания поляризатора и анализатора ($\theta = 0^\circ$) и минимальна, когда плоскости перпендикулярны ($\theta = 90^\circ$). Иная ситуация с потоком электронов.

Пусть все электроны в потоке имеют спин «вверх». Тогда по определению (25) и (26)

$$\mu_s = \mu_{up} = 2\mu, \quad (85)$$

если же повернуть намагниченность на регистрирующем контакте на угол θ , измеряемая разность потенциалов, как следует из (84), станет

$$\frac{\mu_2}{\mu} = 1 + P_2 \cos \theta. \quad (86)$$

Как и в случае потока фотонов, разность потенциалов максимальна, когда регистрирующий и инжектирующий контакты параллельны ($\theta = 0^\circ$). Если же в случае потока фотонов интенсивность прошедшего через анализатор света минимальна при $\theta = 90^\circ$, то в случае потока электронов минимум разности потенциалов достигается при антипараллельной ($\theta = 180^\circ$) ориентации намагниченности контактов (рис. 18).

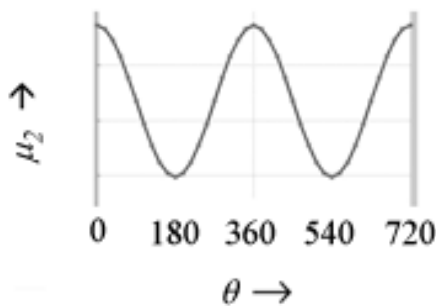


Рис. 18. Колебания нелокального спинового потенциала в зависимости от угла между инжектирующим и регистрирующим ФМ контактами

В предположении идеального регистрирующего контакта ($P_2 = 1$) из (86) следует

$$\frac{\mu_2}{\mu} = 1 + \cos \theta = 2 \cos^2 \frac{\theta}{2}, \quad (87)$$

так что если анализатор фотонов пропускает через себя количество фотонов, пропорциональное $\cos^2 \theta$, то спиновый анализатор электронов пропускает через себя количество электронов, пропорциональное $\cos^2(\theta/2)$. Есть надежда, что уже в недалеком будущем спиновый анализатор электронов будет ключевым измерительным устройством в спиновом квантовом компьютере так же, как закон Малюса уже сейчас используется в фотонных квантовых компьютерах.

6. Уравнение диффузии для баллистического транспорта

Звучит противоречиво как и термин «упругий резистор» [1]. Разве диффузионное уравнение не должно было бы описывать диффузионный транспорт? Можно ли использовать уравнение диффузии для баллистического транспорта? С позиций концепции «снизу – вверх» оба режима переноса – диффузионный и баллистический – существенно близки.

Уравнение диффузии связывает электрический ток с градиентом электрохимического потенциала $\mu(z)$, а именно:

$$\frac{I}{A} = -\frac{\sigma}{q} \frac{d\mu}{dz}, \quad (88)$$

где удельная проводимость σ дается уравнениями (65) и (68) из [1]. Это уравнение можно получить рассматривая проводник как последовательность упругих резисторов (рис. 19).

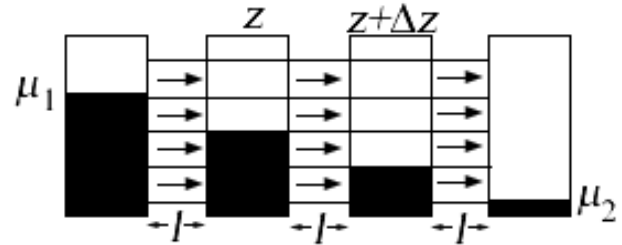


Рис. 19. Условное разбиение реального макропроводника на последовательность упругих резисторов [1]

Используя ур-е (32) из [1], для тока $I(z)$ в отдельной секции проводника можно написать:

$$I(z) = \frac{1}{q} \int_{-\infty}^{+\infty} dE G(E) (f(z, E) - f(z + \Delta z, E)). \quad (89)$$

Из уравнений (42) и (50) работы [1] для проводимости в диффузионном режиме имеем

$$G = \frac{\sigma}{L + \lambda} \{1, W, A\}, \quad (90)$$

откуда следует, что

$$\frac{1}{G(E)} = \rho \frac{\Delta z + \lambda}{A}; \quad (91)$$

однако, при этом нужно отметить, что сопротивление (91) включает в себя граничные сопротивления, которые на самом деле не существуют, разве что на физически реальных концах проводника. Опуская их, для проводимости имеем

$$G(E) = \frac{\sigma A}{\Delta z}, \quad (92)$$

Комбинируя (92) с уже привычным линейным разложением для малой разности электрохимических потенциалов

$$f(z, E) - f(z + \Delta z, E) = \left(-\frac{\partial f_0}{\partial E} \right) (\mu(z) - \mu(z + \Delta z)), \quad (93)$$

которое следует из уравнения (20) работы [1], и определяя удельную проводимость σ как термически среднее $\bar{\sigma}$ от $\sigma(E)$, получаем

$$I(z) = \frac{1}{q} \frac{\sigma A}{\Delta z} (\mu(z) - \mu(z + \Delta z)). \quad (94)$$

Обратим внимание на то, что удельные проводимости (65) и (68) работы [1], как и проводимости выше в уравнениях (92) и (94), зависят от энергии.

Они должны быть усреднены в промежутке нескольких kT , включая $E = \mu_0$, с использованием функции термического уширения

$$\bar{\sigma} = \int_{-\infty}^{+\infty} dE \left(-\frac{\partial f_0}{\partial E} \right) \sigma(E). \quad (95)$$

Именно такая термически усредненная проводимость $\bar{\sigma}$ должна сравниваться с удельной проводимостью в классических формулах теории Друда (формулы (69) и (71) работы [1]). В вырожденных проводниках усредненная проводимость $\bar{\sigma}$ приблизительно равна проводимости при $E = \mu_0$:

$$\bar{\sigma} \approx \sigma|_{E=\mu_0}. \quad (96)$$

Вернемся к уравнению (94). Устремляя $\Delta z \rightarrow 0$, получим искомое уравнение диффузии (88).

Уравнение диффузии обычно идет в паре с уравнением непрерывности. В одномерных проводниках, как на рис. 20, в условиях равновесия ток постоянен на всем протяжении проводника

$$\frac{dI}{dz} = 0. \quad (97)$$

Решение системы уравнений (88) и (97) ищется при граничных условиях

$$\begin{aligned} \mu(z=0) &= \mu_1, \\ \mu(z=L) &= \mu_2. \end{aligned} \quad (98)$$



Рис. 20. К решению системы уравнений (88) и (97) с граничными условиями (98). Как и в [1], всегда используется направление тока $S \rightarrow D$ в отличие от общепринятого направления

Линейное решение, графически показанное на рис. 20, удовлетворяет систему уравнений (88) и (97) с граничными условиями (98), поскольку линейная зависимость $\mu(z)$ имеет постоянный наклон

$$\frac{d\mu}{dz} = -\frac{\mu_1 - \mu_2}{L}, \quad (99)$$

так что из уравнения (88) имеем постоянный ток с $dI/dz = 0$:

$$I = \frac{\sigma A}{q} \frac{\mu_1 - \mu_2}{L}. \quad (100)$$

Разность электрохимических потенциалов $\mu_1 - \mu_2 = qV$. Имеем стандартный закон Ома

$$I = \frac{\sigma A}{L} V, \quad (101)$$

а не обобщенный закон Ома, пригодный также для учета баллистического транспорта [1],

$$I = \frac{\sigma A}{L + \lambda} V. \quad (102)$$

Можно ли получить обобщенный закон Ома (102) из уравнений диффузии и непрерывности (88) и (97)? На первый взгляд нет, поскольку традиционная проводимость и коэффициент диффузии не имеют смысла для баллистического транспорта. И все же можно пользоваться уравнениями (88) и (97) для баллистического транспорта, если модифицировать граничные условия (98) путем учета в них граничного сопротивления:

$$\begin{aligned} \mu(z=0) &= \mu_1 - \frac{qIR_B}{2}, \\ \mu(z=L) &= \mu_2 - \frac{qIR_B}{2}, \end{aligned} \quad (103)$$

где R_B есть обратное значение баллистической проводимости G_B (формулы (50) и (66) работы [1])

$$R_B = \frac{\lambda}{\sigma A} = \frac{h}{q^2 M}. \quad (104)$$

Новые граничные условия (103) можно реализовать в виде граничных сопротивлений $R_B/2$, что ведет к скачкам химпотенциалов, как показано на рис. 21.

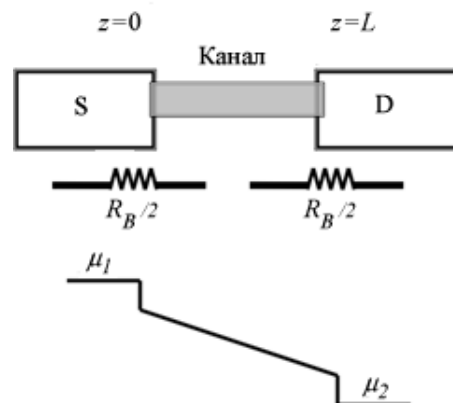


Рис. 21. Уравнения (88) и (97) можно использовать не только для описания диффузионного транспорта, но и для баллистического транспорта, если граничные условия (98) модифицировать путем введения граничных сопротивлений $R_B/2$

Теперь легко убедиться, что новые граничные условия (103) в применении к однородному проводнику ведут к обобщенному закону Ома (102). Поскольку $\mu(z)$ меняется линейно от $z=0$ до $z=L$, ток по уравнению (88)

$$I = \frac{\sigma A}{q} \frac{\mu(0) - \mu(L)}{L}. \quad (105)$$

Используя новые граничные условия (103), имеем

$$I = \frac{\sigma A}{q} \left(\frac{\mu_1 - \mu_2}{L} - \frac{qIR_B}{L} \right). \quad (106)$$

Поскольку

$$\sigma AR_B = \lambda, \quad (107)$$

то

$$I \left(1 + \frac{\lambda}{L} \right) = \frac{\sigma A}{q} \left(\frac{\mu_1 - \mu_2}{L} \right). \quad (108)$$

Учитывая, что $\mu_1 - \mu_2 = qV$, окончательно получаем обобщенный закон Ома (102).

Можно ли обосновать новые граничные условия (103)? Да, поскольку они следуют из обобщенного закона Ома (102), если предположить, что дополнительное сопротивление $\sigma A/\lambda$ (107) делится поровну между двумя границами проводника.

Лучшее обоснование можно достичь, если ввести два различных электрохимических потенциала μ^+ и μ^- , соответствующих движению электронов вдоль осей $+z$ и $-z$, соответственно. Ранее [1] предполагалось, что оба контакта настолько массивны, что всегда находятся вблизи равновесия и описываются фермиевскими функциями (16) и (17) работы [1] с хорошо определенными электрохимическими потенциалами. Сейчас же мы говорим о $\mu(z)$ в канале, не находящемся в равновесии, когда электронные состояния, переносящие электроны, заселены различно для электронов, движущихся вдоль направлений $+z$ и $-z$, в противном же случае тока не будет. Это различие в заселенности находит свое отражение в различии μ^+ и μ^- , и мы позже покажем, что ток пропорционален этой разности:

$$I = \frac{q}{h} M (\mu^+(z) - \mu^-(z)), \quad (109)$$

что можно переписать используя (66) из [1] в виде

$$I = \frac{1}{qR_B} (\mu^+(z) - \mu^-(z)) = \frac{\sigma A}{q\lambda} (\mu^+(z) - \mu^-(z)). \quad (110)$$

Корректные граничные условия для μ^+ и μ^- следующие:

$$\begin{aligned} \mu^+(z=0) &= \mu_1, \\ \mu^-(z=L) &= \mu_2, \end{aligned} \quad (111)$$

которые можно понять из следующих соображений (рис. 22).

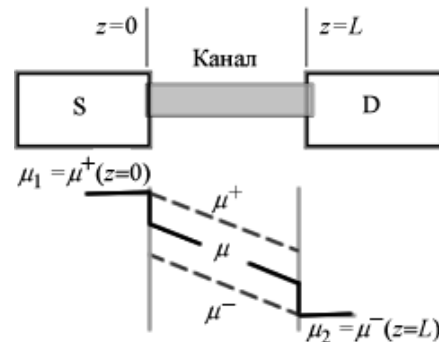


Рис. 22. Профиль электрохимических потенциалов μ^+ и μ^- в канале проводимости

Электроны, генерируемые на границе $z=0$ в направлении $+z$, подчиняются фермиевскому распределению с потенциалом μ_1 . Аналогично, электроны, генерируемые на границе $z=L$ в направлении $-z$, подчиняются фермиевскому распределению μ_2 на правом контакте. Ток связан с потенциалами μ^+ и μ^- уравнениями

$$I = -\frac{\sigma A}{q} \frac{d\mu^+}{dz} = -\frac{\sigma A}{q} \frac{d\mu^-}{dz}, \quad (112)$$

которые эквивалентны уравнению диффузии (88), примененному к усредненному потенциалу

$$\mu(z) = \frac{\mu^+(z) + \mu^-(z)}{2}. \quad (113)$$

Уравнения (112) решаются с граничными условиями (111) и дают графики для μ^+ и μ^- , показанные на рис. 22, и их среднее значение действительно выглядит как на рис. 21 с соответствующими скачками потенциала на концах.

И все же, нет нужды отказываться от традиционного уравнения диффузии (88) в пользу нового уравнения (112). Те же результаты можно просто получить модифицируя граничные условия для $\mu(z)$ с использованием уравнений (109) – (112) следующим образом для левого конца проводника

$$\begin{aligned} \mu(z=0) &= \left(\frac{\mu^+ + \mu^-}{2} \right)_{z=0} = \left(\mu^+ - \frac{\mu^+ - \mu^-}{2} \right)_{z=0} = \\ &= \mu_1 - (qIR_B/2) \end{aligned} \quad (114)$$

и для правого конца

$$\mu(z=L) = \left(\mu^- + \frac{\mu^+ - \mu^-}{2} \right)_{z=L} = \mu_2 + \frac{qIR_B}{2}. \quad (115)$$

Это в точности те же самые граничные условия для стандартного уравнения диффузии, что и выписанные раньше (103).

7. Электрохимические потенциалы вдали от равновесия

Как уже упоминалось выше в отношении электрохимических потенциалов внутри контактов, оба контакта настолько массивны, что всегда находятся вблизи равновесия и описываются фермиевскими функциями с хорошо определенными электрохимическими потенциалами. Канал проводимости, однако, не находится в равновесии, так что распределение электронов по доступным состояниям может и не описываться фермиевскими функциями.

В общем случае нужно решать транспортное уравнение Больцмана [14, 15], а в квантовом случае использовать формализм неравновесных функций Грина [16–18] для получения соответствующих функций распределения $f(z, E)$. Можно ли представить эти распределения с использованием электрохимических потенциалов $\mu^+(z)$ и $\mu^-(z)$?

В канале с идеальной баллистической проводимостью использование $\mu^+(z)$ и $\mu^-(z)$ является строгим решением, а не приближенным. Все электроны, движущиеся от истока S в направлении $+z$ (рис. 23), подчиняются фермиевскому распределению на этом контакте с $\mu^+ = \mu_1$:

$$f^+(z, E) = f_1(E) \equiv \frac{1}{\exp\left(\frac{E - \mu_1}{kT}\right) + 1}, \quad (116)$$

а все электроны стока D, движущиеся в направлении $-z$, подчиняются распределению на стоке с $\mu^- = \mu_2$

$$f^-(z, E) = f_2(E) \equiv \frac{1}{\exp\left(\frac{E - \mu_2}{kT}\right) + 1}. \quad (117)$$

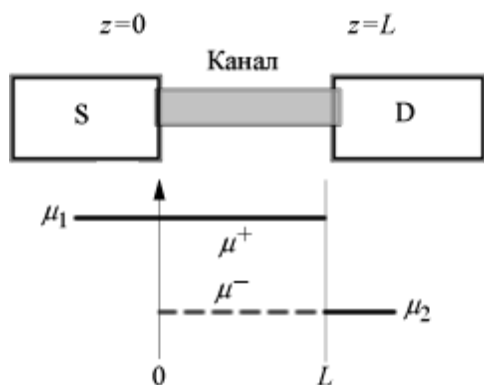


Рис. 23. Профили электрохимических потенциалов $\mu^+(z)$ и $\mu^-(z)$ в канале с идеальной баллистической проводимостью

В дополнение к сказанному заметим, что связанные со стоком D моды, берущие свое начало на истоке S, заполнены только электронами, идущими из истока, так что эти моды остаются в равновесии с истоком с функцией распределения $f_1(E)$. Аналогично, связанные с истоком моды и берущие свое

начало на стоке находятся в равновесии со стоком с функцией распределения $f_2(E)$.

Пусть при некоторой энергии $f_1(E) = 1$ и $f_2(E) = 0$, так что множество электронов на истоке S готовы к транспорту на сток D, но ни один электрон на стоке D не готов к транспорту на исток S (рис. 24).

Можно ожидать, что связанные со стоком моды, берущие свое начало на истоке, будут вплотную заполнены электронами (трафик «бампер-к-бамперу» на скоростном шоссе), тогда как связанные с истоком моды и берущие свое начало на стоке будут пустыми (трафик в обратном направлении отсутствует).

Конечно, такая идеализированная модель баллистического канала предполагает, что в процессе транспорта электроны не возвращаются назад ни по ходу своей траектории, ни в ее конце. Именно это имеется в виду под баллистическим каналом с хорошими контактами, когда в канале есть достаточное число мод чтобы электроны легко покинули исток с практически нулевой вероятностью вернуться назад. Если же имеют место плохие контакты или транспорт в канале проводимости носит диффузионный характер, ожидать решение с функциями распределения (116) и (117) не приходится. Выше при обсуждении спиновых вентилях было показано как каким последствием ведут плохие контакты. Сейчас же мы сосредоточимся на диффузионных каналах с хорошими контактами.

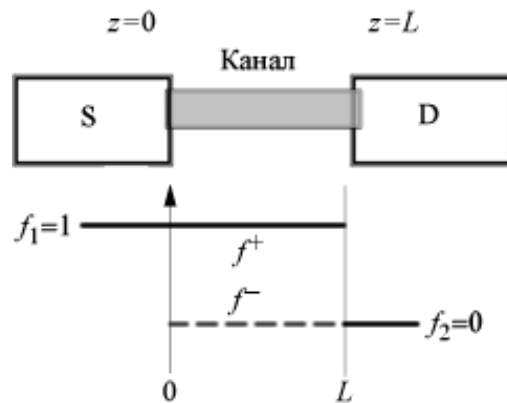


Рис. 24. Профили заселенности f^+ и f^- в канале с идеальной баллистической проводимостью

Функции распределения (116) и (117) представляются нам достаточно хорошими для диффузионного канала. Предполагается, что распределения подобны фермиевским, но учитывают пространственную зависимость электрохимических потенциалов:

$$f^+(z, E) = \frac{1}{\exp\left(\frac{E - \mu^+(z)}{kT}\right) + 1},$$

$$f^-(z, E) = \frac{1}{\exp\left(\frac{E - \mu^-(z)}{kT}\right) + 1}. \quad (118)$$

Полноты ради заметим, что электрохимические потенциалы в общем случае зависят от энергии и в принципе нужно писать $\mu^+(z, E)$ и $\mu^-(z, E)$. В упругих резисторах энергии мод не зависимы и могут иметь свою характерную пространственную зависимость, если длина свободного пробега от энергии не зависит. Выше в (118), упрощения ради, этим обстоятельством пренебрегается.

8. Токи в режиме неравновесных потенциалов

Обычно рассматривается суммарный ток, который представляет собой разность токов, берущих свое начало на истоке и на стоке,

$$I(z) = I^+(z) - I^-(z). \tag{119}$$

Ток I^+ равен заряду, переносимому направо за единицу времени (рис. 25).

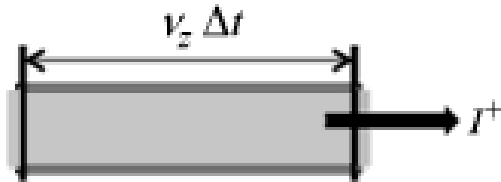


Рис. 25. К подсчету тока, берущему свое начало на истоке

За временной интервал Δt заряд находится на длине $v_z \cdot \Delta t$, так что

$$I^+(z) = q \cdot (\text{число электронов на единице длины}) \cdot v_z. \tag{120}$$

Число электронов на единице длины равно половине плотности состояний на единице длины $D(E)/2L$, умноженной на долю f^+ занятых состояний, так что

$$I^+(z, E) = q \frac{D(E)}{2L} \bar{v}(E) f^+(z, E), \tag{121}$$

где \bar{v} есть среднее значение скорости v_z согласно уравнениям (51) – (52) работы [1], а произведение $D(E)/2L$ на скорость есть $M(E)/h$ согласно (67) там же, так что

$$I^+(z, E) = \frac{qM(E)}{h} f^+(z, E) \tag{122}$$

и аналогично

$$I^-(z, E) = \frac{qM(E)}{h} f^-(z, E). \tag{123}$$

В итоге суммарный ток (119)

$$I(z) = \int_{-\infty}^{+\infty} dE (I^+(z, E) - I^-(z, E)) = \frac{q}{h} \int_{-\infty}^{+\infty} dE (f^+(z, E) - f^-(z, E)) M(E). \tag{124}$$

Для перехода от функций распределения f^+ и f^- к электрохимическим потенциалам μ^+ и μ^- воспользуемся приближением линейного отклика (21) работы [1]:

$$f^+(z, E) - f^-(z, E) = \left(-\frac{\partial f_0}{\partial E} \right) (\mu^+(z) - \mu^-(z)), \tag{125}$$

так что из (124) получим искомое уравнение (109):

$$I(z) = \frac{q}{h} (\mu^+(z) - \mu^-(z)) \int_{-\infty}^{+\infty} dE \left(-\frac{\partial f_0}{\partial E} \right) M(E), \tag{126}$$

имея в виду, что стоящий справа интеграл есть термически усредненное число мод M .

9. Сопротивление R_{int} на границе контакта двух проводников с разным числом мод

Рассмотрим границу раздела между двумя проводниками с разным числом мод проводимости $M_1 > M_2$, граничащих с двумя массивными контактами на обоих концах, число мод в которых эффективно бесконечно велико (рис. 26).

Рассмотрим электрохимические потенциалы μ^+ и μ^- , соответствующие движению электронов направо и налево, соответственно. Как показано выше, граничные условия имеют вид

$$\mu^+(L) = \mu_1 \text{ и } \mu^-(R) = \mu_2. \tag{127}$$

Ток направо и налево одинаков и равен:

$$I = \frac{q}{h} M_1 (\mu^+ - \mu^-)_L = \frac{q}{h} M_2 (\mu^+ - \mu^-)_R. \tag{128}$$

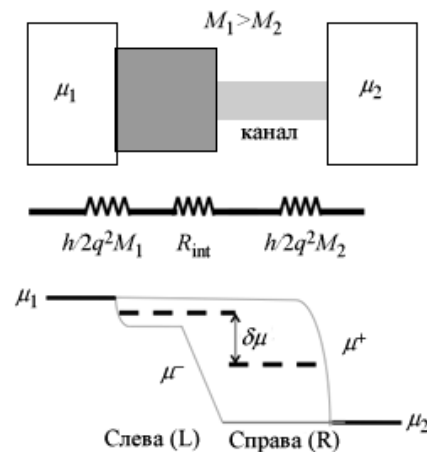


Рис. 26. Граница раздела между двумя каналами проводимости (широким и узким) с модами $M_1 > M_2$, граничащих с массивными контактами на обоих концах, число мод в которых эффективно бесконечно велико

Электроны движутся свободно через границу раздела так, что движущиеся направо потоки в узком канале находятся в равновесии с движущимися направо потоками в широком канале:

$$\mu^+(R) = \mu_1 \cdot \quad (129)$$

Движущиеся налево потоки в широком канале не могут быть адекватно заполнены узким каналом и соответствующий потенциал *a priori* не известен. Для его определения из (128) имеем

$$\mu^+(L) - \mu^-(L) = \frac{M_2}{M_1} (\mu^+(R) - \mu^-(R)). \quad (130)$$

Подставляя далее (127) и (129), получаем

$$\mu^-(L) = \mu_1 - \frac{M_2}{M_1} (\mu_1 - \mu_2). \quad (131)$$

Для вычисления граничного сопротивления R_{int} нужно вычислить скачок потенциала на границе контакта двух проводников

$$\delta\mu = \left(\frac{\mu^+ + \mu^-}{2} \right)_L - \left(\frac{\mu^+ + \mu^-}{2} \right)_R. \quad (132)$$

Используя (127), (129) и (131), получаем

$$\delta\mu = \left(1 - \frac{M_2}{M_1} \right) (\mu_1 - \mu_2), \quad (133)$$

$$I = \frac{q}{h} M_2 (\mu_1 - \mu_2), \quad (134)$$

и окончательно получаем искомую формулу для граничного сопротивления

$$R_{int} \equiv \frac{\delta\mu/q}{I} = \frac{h}{2q^2} \left(\frac{1}{M_2} - \frac{1}{M_1} \right). \quad (135)$$

Благодарности

Благодарю проф. С. Датта (Supriyo Datta) за предоставленную мне возможность прослушать его курсы лекций «Fundamentals of Nanoelectronics: Basic Concepts», прочитанных он-лайн в январе – феврале 2012 года и в марте – мае 2015 года в рамках инициативы Purdue University / nanoHUB-U [36, 37] и частично использованных мною при написании настоящего обзора.

Литература

1. Кругляк, Ю. О. Уроки нанoeлектроніки: виникнення струму, формулювання закону Ома і моди провідності в концепції «знизу–вгору» [Текст] / Ю. О. Кругляк, Н. Ю. Кругляк, М. В. Стріха // Сенсорна електроніка і мікросистемні технології. – 2012. – Т. 9, № 4. – С. 5–29.
2. Кругляк, Ю. А. Нанoeлектроніка «снизу – вверх»: Возникновение тока, обобщенный закон Ома, упругий резистор, моды проводимости, термоэлектричество [Текст] / Ю. А. Кругляк // ScienceRise. – 2015. – Т. 7, № 2 (12). – С. 76–100. doi: 10.15587/2313-8416.2015.45700
3. Supriyo, D. Lessons from Nanoelectronics: A New Perspective on Transport [Text] / D. Supriyo. – Hackensack, New Jersey: World Scientific Publishing Co, 2012. – 471 p. – Available at: <https://nanohub.org/courses/FoN1>

4. Dyakonov, M. I. Current-induced spin orientation of electrons in semiconductors [Text] / M. I. Dyakonov, V. I. Perel // Physics Letters. – 1971. – Vol. 35, Issue 6. – P. 459–460. doi: 10.1016/0375-9601(71)90196-4

5. Julliere, M. Tunneling between ferromagnetic films [Text] / M. Julliere // Physics Letters A. – 1975. – Vol. 54, Issue 3. – P. 225–226. doi: 10.1016/0375-9601(75)90174-7

6. Аронов, А. Г. Спиновая инжекция в полупроводниках [Текст] / А. Г. Аронов, Г. Е. Пикус // Физика и техника полупров. – 1976. – № 10. – С. 1177–1180.

7. Baibich, M. N. Magnetoresistance of (001) Fe/(001)Cr Magnetic Superlattices [Text] / M. N. Baibich, J. M. Broto, A. Fert, F. Nguyen Van Dau, F. Petroff, P. Etienne, G. Creuzet, A. Friederich, J. Chazelas // Physical Review Letters. – 1988. – Vol. 61, Issue 21. – P. 2472–2475. doi: 10.1103/physrevlett.61.2472

8. Binasch, G. Enhanced magnetoresistance in layered magnetic structures with antiferromagnetic interlayer exchange [Text] / G. Binasch, P. Grünberg, F. Saurenbach, W. Zinn // Physical Review B. – 1989. – Vol. 39, Issue 7. – P. 4828–4830. doi: 10.1103/physrevb.39.4828

9. Mott, N. F. The Electrical Conductivity of Transition Metals [Text] / N. F. Mott // Proceedings of the Royal Society A: Mathematical, Physical and Engineering Sciences. – 1936. – Vol. 153, Issue 880. – P. 699–717. doi: 10.1098/rspa.1936.0031

10. Mott, N. F. Electrons in Transition Metals [Text] / N. F. Mott // Advances in Physics. – 1964. – Vol. 13, Issue 51. – P. 325–422. doi: 10.1080/00018736400101041

11. Погорілий, А. М. Спінтроніка. Основні явища. Тенденції розвитку [Текст] / А. М. Погорілий, С. М. Рябченко, О. І. Товстолиткін // Укр. фіз. журн. Огляди. – 2010. – Т. 6, № 1. – С. 37–97.

12. Schmidt, G. Concepts for Spin Injection into Semiconductors – a Review [Text] / G. Schmidt // Journal of Physics D: Applied Physics. – 2005. – Vol. 38, Issue 7. – P. R107–R122. doi: 10.1088/0022-3727/38/7/r01

13. Valet, T. Theory of the perpendicular magnetoresistance in magnetic multilayers [Text] / T. Valet, A. Fert // Physical Review B. – 1993. – Vol. 48, Issue 10. – P. 7099–7013. doi: 10.1103/physrevb.48.7099

14. Sears, F. W. Thermodynamics, Kinetic Theory, and Statistical Thermodynamics [Text] / F. W. Sears, G. L. Salinger. – Boston: Addison-Wesley, 1975. – P. 331–336, 355–361.

15. Kubo, R. Statistical-Mechanical Theory of Irreversible Processes. I. General Theory and Simple Applications to Magnetic and Conduction Problems [Text] / R. Kubo // Journal of the Physical Society of Japan. – 1957. – Vol. 12, Issue 6. – P. 570–586. doi: 10.1143/jpsj.12.570

16. Martin, P. C. Theory of many-particle systems. I [Text] / P. C. Martin, J. Schwinger // Physical Review. – 1959. – Vol. 115, Issue 6. – P. 1342–1373. doi: 10.1103/physrev.115.1342

17. Kadanoff, L. P. Quantum Statistical Mechanics [Text] / L. P. Kadanoff, G. Baym. – New York: W. A. Benjamin, 1962. – 203 p.

18. Keldysh, L. V. Diagram Technique for Non-Equilibrium Processes [Text] / L. V. Keldysh // ЖЭТФ. – 1964. – Т. 47. – С. 1515–1527.

19. Takahashi, S. Spin Injection and Detection in Magnetic Nanostructures [Text] / S. Takahashi, S. Maekawa // Physical Review B. – 2003. – Vol. 67, Issue 5. – P. 052409. doi: 10.1103/physrevb.67.052409

20. Третьяк, О. В. Фізичні основи спінової електроніки [Текст] / О. В. Третьяк, В. А. Львов, О. В. Барабанов. – Київ: Вид-во Київського університету, 2002. – 314 с.
21. Данилов, Ю. А. Основы спинтроники [Текст] / Ю. А. Данилов, Е. С. Демидов, А. А. Ежевский. – Нижний Новгород: Нижегородский государственный университет им. Н. И. Лобачевского, 2009. – 173 с.
22. Аплеснин, С. С. Основы спинтроники [Текст] / С. С. Аплеснин. – Санкт-Петербург: Изд-во ЛАНЬ, 2010. – 288 с.
23. Tsoi, M. Excitation of a Magnetic Multilayer by Electric Current [Text] / M. Tsoi, A. G. M. Jansen, J. Bass, W.-C. Chiang, M. Seck, V. Tsoi, P. Wyder // *Physical Review Letters*. – 1998. – Vol. 80, Issue 19. – P. 4281–4284. doi: 10.1103/physrevlett.80.4281
24. Myers, E. B. Current-Induced Switching of Domains in Magnetic Multilayer Devices [Text] / E. B. Myers, D. C. Ralph, J. A. Katine, R. N. Louie, R. A. Buhrman // *Science*. – 1999. – Vol. 285, Issue 5429. – P. 867–870. doi: 10.1126/science.285.5429.867
25. Katine, J. A. Current-Driven Magnetization Reversal and Spin-Wave Excitations in Co / Cu / Co Pillars [Text] / J. A. Katine, F. J. Albert, R. A. Buhrman, E. B. Myers, D. C. Ralph // *Physical Review Letters*. – 2000. – Vol. 84, Issue 14. – P. 3149–3152. doi: 10.1103/physrevlett.84.3149
26. Berger, L. Emission of spin waves by a magnetic multilayer traversed by a current [Text] / L. Berger // *Physical Review B*. – 1996. – Vol. 54, Issue 13. – P. 9353–9358. doi: 10.1103/physrevb.54.9353
27. Slonczewski, J. C. Current-driven excitation of magnetic multilayers [Text] / J. C. Slonczewski // *Journal of Magnetism and Magnetic Materials*. – 1996. – Vol. 159, Issue 1–2. – P. L1–L7. doi: 10.1016/0304-8853(96)00062-5
28. Bazaliy, Y. B. Modification of the Landau-Lifshitz equation in the presence of a spin-polarized current and colossal- and giant-magneto-resistive materials [Text] / Y. B. Bazaliy, B. A. Jones, S.-C. Zhang // *Physical Review B*. – 1998. – Vol. 57, Issue 6. – P. R3213 – R3216. doi: 10.1103/physrevb.57.r3213
29. Sun, J. Z. Spin-current interaction with a monodomain magnetic body: A model study [Text] / J. Z. Sun // *Physical Review B*. – 2000. – Vol. 62, Issue 1 – P. 570–578. doi: 10.1103/physrevb.62.570
30. Ralph, D. C. Spin transfer torques [Text] / D. C. Ralph, M. D. Stiles // *Journal of Magnetism and Magnetic Materials*. – 2008. – Vol. 320, Issue 7. – P. 1190–1216. doi: 10.1016/j.jmmm.2007.12.019
31. Ландау, Л. Д. К теории дисперсии магнитной проницаемости ферромагнитных тел [Текст] / Л. Д. Ландау, Е. М. Лифшиц // *Phys. Z. Sowjetunion*. – 1935. – Vol. 8. – P. 153–169.
32. Ландау, Л. Д. К теории дисперсии магнитной проницаемости ферромагнитных тел [Текст] / Л. Д. Ландау, Е. М. Лифшица. – М.: Наука, 1969. – Т. 1. – С. 97.
33. Gilbert, T. A. phenomenological theory of damping in ferromagnetic materials [Text] / T. A. Gilbert // *IEEE Transactions on Magnetics*. – 2004. – Vol. 40, Issue 6. – P. 3443–3449. doi: 10.1109/tmag.2004.836740
34. Звездин, А. К. Обобщенное уравнение Ландау – Лифшица и процессы переноса спинового момента в магнитных наноструктурах [Текст] / А. К. Звездин, К. А. Звездин, А. В. Хвальковский // *УФН*. – 2008. – Т. 178. – С. 436–442.
35. Mewes, T. Magnetization dynamics including spin-torque [Electronic resource] / T. Mewes et al. – Available at: <http://www.bama.ua.edu/~tmewes/>
36. Nanohub [Electronic resource]. – 2012. – Available at: <https://nanohub.org/groups/u>
37. PurdueX [Electronic resource]. – 2015. – Available at: <https://www.edx.org/school/purdue>

References

1. Krugljak, Ju. O., Krugljak, N. Ju., Striha, M. V. (2012). Uroky nanoelektroniky: vynykennja strumu, formuljuvannja zakonu Oma i mody providnosti v koncepcii' «znyzuvgoru». *Sensorna elektronika i mikrosystemni tehnologii'*, 9 (4), 5–29.
2. Kruglyak Yu. A. (2015). Nanoelectronics «bottom – up»: current generation, generalized ohm's law, elastic resistors, conductivity modes, thermoelectricity. *ScienceRise*, 7/2 (12), 76–100. doi: 10.15587/2313-8416.2015.45700
3. Supriyo, D. (2012). *Lessons from Nanoelectronics: A New Perspective on Transport*. Hackensack, New Jersey: World Scientific Publishing Co, 471. Available at: <https://nanohub.org/courses/FoN1>
4. Dyakonov, M. I., Perel, V. I. (1971). Current-induced spin orientation of electrons in semiconductors. *Physics Letters A*, 35 (6), 459–460. doi: 10.1016/0375-9601(71)90196-4
5. Julliere, M. (1975). Tunneling between ferromagnetic films. *Physics Letters A*, 54 (3), 225–226. doi: 10.1016/0375-9601(75)90174-7
6. Aronov, A. G., Pikus, G. E. (1976). Spinovaja inzhekcija v poluprovodnikah. *Fizika i tehnika poluprov.*, 10, 1177–1180.
7. Baibich, M. N., Broto, J. M., Fert, A., Van Dau, F. N., Petroff, F., Etienne, P., Chazelas, J. (1988). Giant Magnetoresistance of (001)Fe/(001)Cr Magnetic Superlattices. *Physical Review Letters*, 61 (21), 2472–2475. doi: 10.1103/physrevlett.61.2472
8. Binasch, G., Grünberg, P., Saurenbach, F., Zinn, W. (1989). Enhanced magnetoresistance in layered magnetic structures with antiferromagnetic interlayer exchange. *Physical Review B*, 39 (7), 4828–4830. doi: 10.1103/physrevb.39.4828
9. Mott, N. F. (1936). The Electrical Conductivity of Transition Metals. *Proceedings of the Royal Society A: Mathematical, Physical and Engineering Sciences*, 153 (880), 699–717. doi: 10.1098/rspa.1936.0031
10. Mott, N. F. (1964). Electrons in transition metals. *Advances in Physics*, 13 (51), 325–422. doi: 10.1080/00018736400101041
11. Pogorilyj, A. M., Rjabchenko, S. M., Tovstolytkin, O. I. (2010). Spintronika. Osnovni javyshha. Tendencii' rozvytku. *Ukr. fiz. zhurn. Ogljady*, 6 (1), 37–97.
12. Schmidt, G. (2005). Concepts for spin injection into semiconductors—a review. *Journal of Physics D: Applied Physics*, 38 (7), R107–R122. doi: 10.1088/0022-3727/38/7/r01
13. Valet, T., Fert, A. (1993). Theory of the perpendicular magnetoresistance in magnetic multilayers. *Physical Review B*, 48 (10), 7099–7113. doi: 10.1103/physrevb.48.7099
14. Sears, F. W., Salinger, G. L. (1975). *Thermodynamics, Kinetic Theory, and Statistical Thermodynamics*. Boston: Addison-Wesley, 331–336, 355–361.

15. Kubo, R. (1957). Statistical-Mechanical Theory of Irreversible Processes. I. General Theory and Simple Applications to Magnetic and Conduction Problems. *Journal of the Physical Society of Japan*, 12 (6), 570–586. doi: 10.1143/jpsj.12.570
16. Martin, P. C., Schwinger, J. (1959). Theory of Many-Particle Systems. I. *Physical Review*, 115 (6), 1342–1373. doi: 10.1103/physrev.115.1342
17. Kadanoff, L. P., Baym, G. (1962). *Quantum Statistical Mechanics*. New York: W. A. Benjamin, 2003.
18. Keldysh, L. V. (1964). Diagram Technique for Non-Equilibrium Processes. *ZhJeTF*, 47, 1515–1527.
19. Takahashi, S., Maekawa, S. (2003). Spin injection and detection in magnetic nanostructures. *Physical Review B*, 67 (5), 052409. doi: 10.1103/physrevb.67.052409
20. Tretjak, O. V., L'vov, V. A., Barabanov, O. V. (2002). *Fizychni osnovy spinovoi' elektroniky*. Kyi'v: Vyd-vo Kyi'vs'kogo universytetu, 314.
21. Danilov, Ju. A., Demidov, E. S., Ezhevskij, A. A. (2009). *Osnovy spintroniki*. Nizhnij Novgorod: Nizhegorodskij gosudarstvennyj universitet im. N. I. Lobachevskogoju, 173.
22. Aplesnin, S. S. (2010). *Osnovy spintroniki*. Sankt-Peterburg: Izd-vo LAN", 288.
23. Tsoi, M., Jansen, A. G. M., Bass, J., Chiang, W.-C., Seck, M., Tsoi, V., Wyder, P. (1998). Excitation of a Magnetic Multilayer by an Electric Current. *Physical Review Letters*, 80 (19), 4281–4284. doi: 10.1103/physrevlett.80.4281
24. Myers, E. B., Ralph, D. C., Katine, J. A., Louie, R. N., Buhrman, R. A. (1999). Current-Induced Switching of Domains in Magnetic Multilayer Devices. *Science*, 285 (5429), 867–870. doi: 10.1126/science.285.5429.867
25. Katine, J. A., Albert, F. J., Buhrman, R. A., Myers, E. B., Ralph, D. C. (2000). Current-Driven Magnetization Reversal and Spin-Wave Excitations in Co/Cu/Co Pillars. *Physical Review Letters*, 84 (14), 3149–3152. doi: 10.1103/physrevlett.84.3149
26. Berger, L. (1996). Emission of spin waves by a magnetic multilayer traversed by a current. *Physical Review B*, 54 (13), 9353–9358. doi: 10.1103/physrevb.54.9353
27. Slonczewski, J. C. (1996). Current-driven excitation of magnetic multilayers. *Journal of Magnetism and Magnetic Materials*, 159 (1–2), L1–L7. doi: 10.1016/0304-8853(96)00062-5
28. Bazaliy, Y. B., Jones, B. A., Zhang, S.-C. (1998). Modification of the Landau-Lifshitz equation in the presence of a spin-polarized current in colossal- and giant-magnetoresistive materials. *Physical Review B*, 57 (6), R3213–R3216. doi: 10.1103/physrevb.57.r3213
29. Sun, J. Z. (2000). Spin-current interaction with a monodomain magnetic body: A model study. *Physical Review B*, 62 (1), 570–578. doi: 10.1103/physrevb.62.570
30. Ralph, D. C., Stiles, M. D. (2008). Spin transfer torques. *Journal of Magnetism and Magnetic Materials*, 320 (7), 1190–1216. doi: 10.1016/j.jmmm.2007.12.019
31. Landau, L. D., Lifshic, E. M. (1935). K teorii dispersii magnitnoj pronicaemosti ferromagnitnyh tel. *Phys. Z. Sowjetunion*, 8, 153–169.
32. Landau, L. D., Lifshica, E. M. (1969). K teorii dispersii magnitnoj pronicaemosti ferromagnitnyh tel. Moscow: Nauka, 1, 97.
33. Gilbert, T. L. (2004). *Classics in Magnetism A Phenomenological Theory of Damping in Ferromagnetic Materials*. *IEEE Transactions on Magnetism*, 40 (6), 3443–3449. doi: 10.1109/tmag.2004.836740
34. Zvezdin, A. K., Zvezdin, K. A., Hval'kovskij, A. V. (2008). Obobshhennoe uravnenie Landau – Lifshica i processy perenosa spinovogo momenta v magnitnyh nanostrukturah. *UFN*, 178, 436–442.
35. Mewes, T. et al. Magnetization dynamics including spin-torque. – Available at: <http://www.bama.ua.edu/~tmewes/>
36. Nanohub (2012). Available at: <https://nanohub.org/groups/u>
37. PurdueX (2015). Available at: <https://www.edx.org/school/purdueX>

Рекомендовано до публікації д-р фіз.-мат. наук Глушков О. В.

Дата надходження рукопису 22.07.2015

Kruglyak Yuriy, Doctor of Chemical Sciences, Professor, Department of Information Technologies, Odessa State Environmental University, Lvovskaya Str. 15, Odessa, 65016, Ukraine
E-mail: quantumnet@yandex.ua